

上讲回顾

- 用半经典模型解决了Drude模型对比热高估的问题——高估了参与热激发的电子数目
- 模型：Sommerfeld仍然沿用Drude模型的基本假定，但用量子力学来处理金属自由电子气
 - * 给出了基态 ($T=0$) 的重要性质，引入即使超出自由电子气也仍然有效的一些重要概念
 - # 费米能级、状态密度

本讲目的：电子气在低温和外场下

1. 低温下金属自由电子性质与基态有何不同？
2. 自由电子气在电磁场下如何运动？

第3讲、自由电子气的其他性质

1. 自由电子气低温性质(利用低温费米分布特性)

- * 比热 (低温时, 电子贡献才是主要的)
- * 费米能级、总能 (Sommerfeld积分)

2. 电磁场中的电子气

- * Hall效应 (半经典)
- * 朗道能级 (量子)

The background features a large, faint, circular logo of the Surface Physics Lab at Fudan University. The logo contains the Chinese characters '表面物理' (Surface Physics) at the top, '復旦大學' (Fudan University) in the center, and 'SURFACE LAB. FUDAN UNIVERSITY' around the bottom edge.

相比于基态，极低温下的电子气性质
会有哪些不同？

1、自由电子气低温 ($k_B T \ll E_F$) 性质

- 引进温度，即引进费米分布

$$f(E) = \frac{1}{e^{(E-E_F)/k_B T} + 1}$$

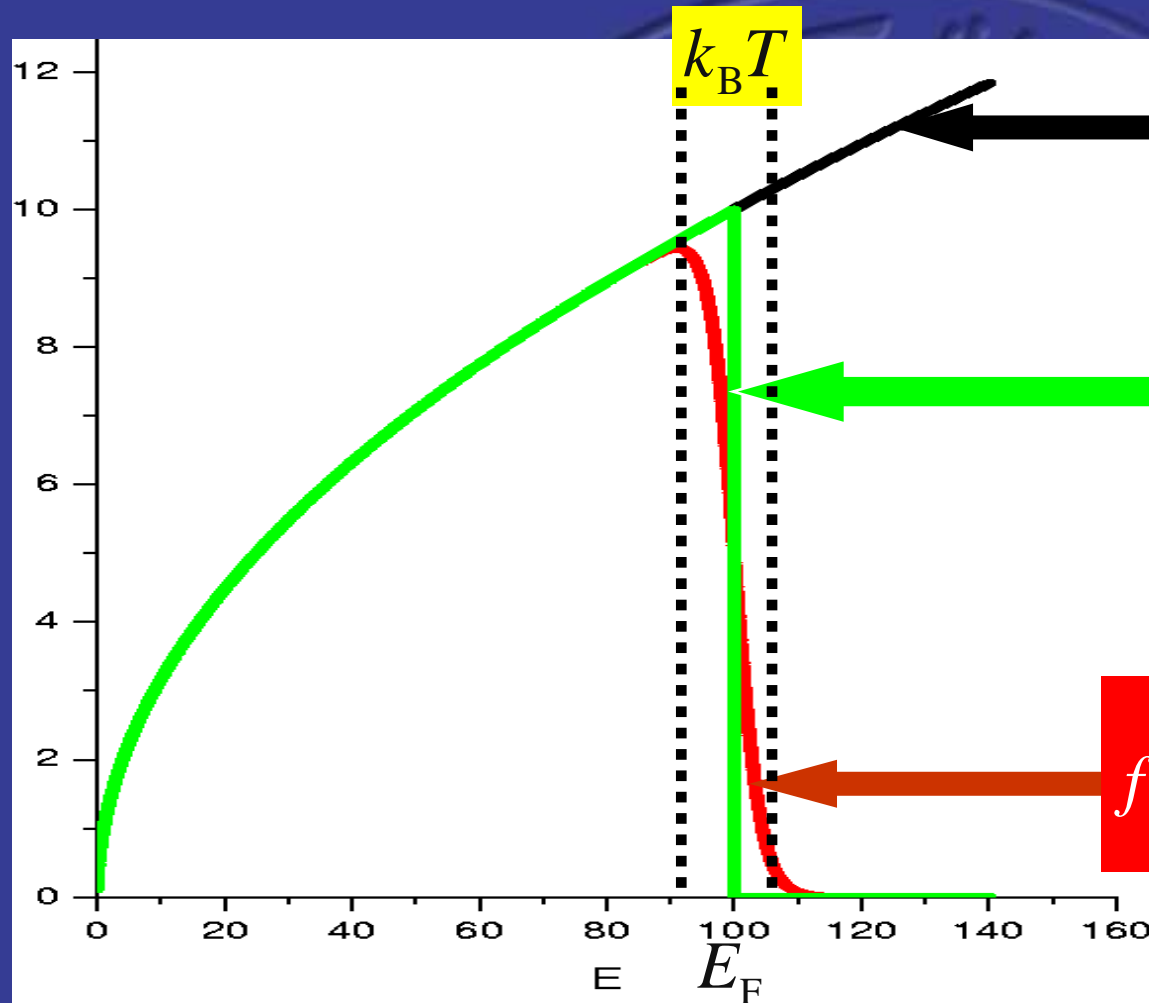
- 用总电子数确定Fermi能级

$$N = \int_0^{\infty} f(E) D(E) dE = \begin{cases} C \int_0^{E_F^0} \sqrt{E} dE, & T = 0 \\ C \int_0^{\infty} f(E) \sqrt{E} dE, & T \neq 0 \end{cases}$$

- 确定电子气能量

$$U = \int_0^{\infty} f(E) D(E) E dE = \begin{cases} C \int_0^{E_F^0} E^{3/2} dE, & T = 0 \\ C \int_0^{\infty} f(E) E^{3/2} dE, & T \neq 0 \end{cases}$$

$T \neq 0$ 电子被热激发，看被积函数



$$D(E) = C\sqrt{E}$$

$$f(E)D(E) = C\sqrt{E} \quad E < E_F$$

$$f(E)D(E) = 0 \quad E > E_F$$

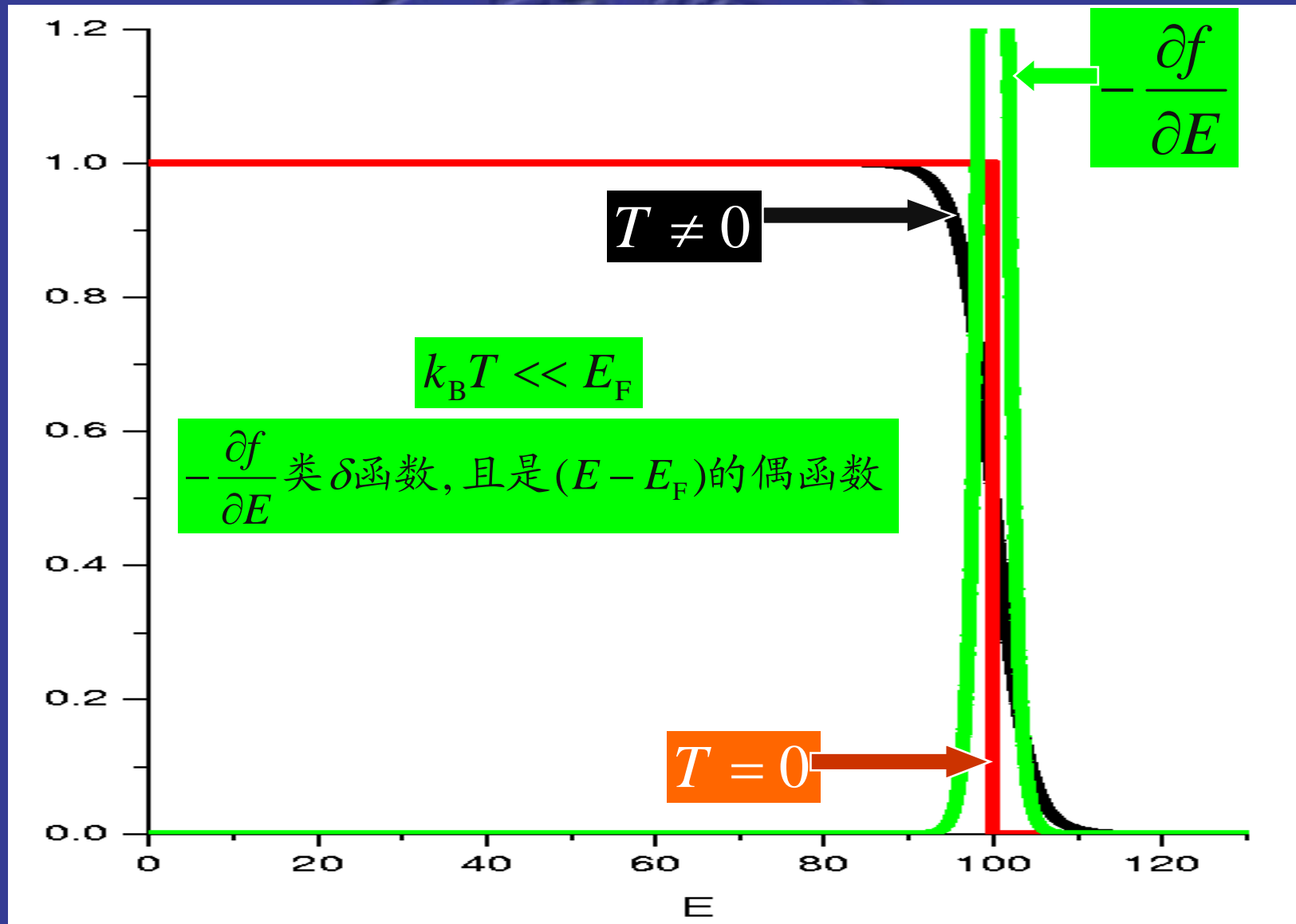
$$f(E)D(E) = \frac{C\sqrt{E}}{e^{(E-E_F)/k_B T} + 1}$$

$$N = \int_0^{\infty} f(E)D(E)dE$$

$$U = \int_0^{\infty} f(E)D(E)EdE$$

子气的其

低温时费米分布的数学性质



$-df(E)/dE$ 的对称性

- 对费米分布，其对 E 的导数总是 $x=(E-\mu)$ 的偶函数
- 当 $T \rightarrow 0$ 时，才是delta函数

$$x = (E - \mu) / k_B T$$

$$f(E) = \frac{1}{e^{(E-\mu)/k_B T} + 1} = \frac{1}{e^x + 1} = f(x)$$

$$-\frac{df}{dx} = \frac{e^x}{(e^x + 1)^2} = \begin{cases} \frac{e^{-x}}{(e^{-x} + 1)^2}, & x \geq 0 \\ \frac{e^{-|x|}}{(e^{-|x|} + 1)^2}, & x < 0 \end{cases}$$

A. 比热($k_B T \ll E_F$)

- 总能量

$$U = \int_0^{\infty} D(E) f(E) E dE$$

- 总电子数

$$N = \int_0^{\infty} f(E) D(E) dE$$

$$E_F N = \int_0^{\infty} E_F f(E) D(E) dE$$

- 对这两个式子求导, 得 $C_V^{\text{el}} = \frac{\partial U}{\partial T} = \int_0^{\infty} dE E D(E) \frac{\partial f}{\partial T}$

$$0 = \int_0^{\infty} dE E_F D(E) \frac{\partial f}{\partial T}$$

- 相减后, 得 $C_V^{\text{el}} = \int_0^{\infty} dE (E - E_F) D(E) \frac{\partial f}{\partial T}$

- 根据 $(E - E_F) df/dT$ 的类 δ 函数性质, 可以近似得到

$$C_V^{\text{el}} \approx D(E_F) \int_0^{\infty} dE (E - E_F) \frac{\partial f}{\partial T}$$

- 对费米分布求导 $\frac{\partial f}{\partial T} = \frac{E - E_F}{k_B T^2} \frac{e^{(E-E_F)/k_B T}}{\left[e^{(E-E_F)/k_B T} + 1 \right]^2}$

- 进行变量替换, $x = (E - E_F) / k_B T$

$$C_V^{\text{el}} \approx D(E_F) \int_0^\infty dE (E - E_F) \frac{\partial f}{\partial T} = k_B^2 T D(E_F) \int_{-E_F/k_B T}^\infty dx x^2 \frac{e^x}{(e^x + 1)^2}$$

- 低温时, 可将积分下限推至负无穷大, 得

$$\int_{-\infty}^\infty dx x^2 \frac{e^x}{(e^x + 1)^2} = \frac{\pi^2}{3}$$

- 于是 $C_V^{\text{el}} = \frac{\pi^2}{3} k_B^2 T D(E_F) = \frac{\pi^2}{3} k_B^2 T \frac{3}{2E_F} N = \frac{\pi^2}{2} N k_B \frac{T}{T_F}$

- 与前面的半经典估计比较 $C_V^{\text{el}} \approx N k_B \frac{T}{T_F}$

$$C_V^{\text{el}} = \left(\frac{\partial U}{\partial T} \right)_V = \frac{\pi^2}{2} N k_B \frac{k_B T}{E_F^0} = \frac{\pi^2}{2} N k_B \frac{T}{T_F}$$

与定性的结果仅差常数因子



定性的解释是正确的，即只有Fermi面附近的电子被激发！

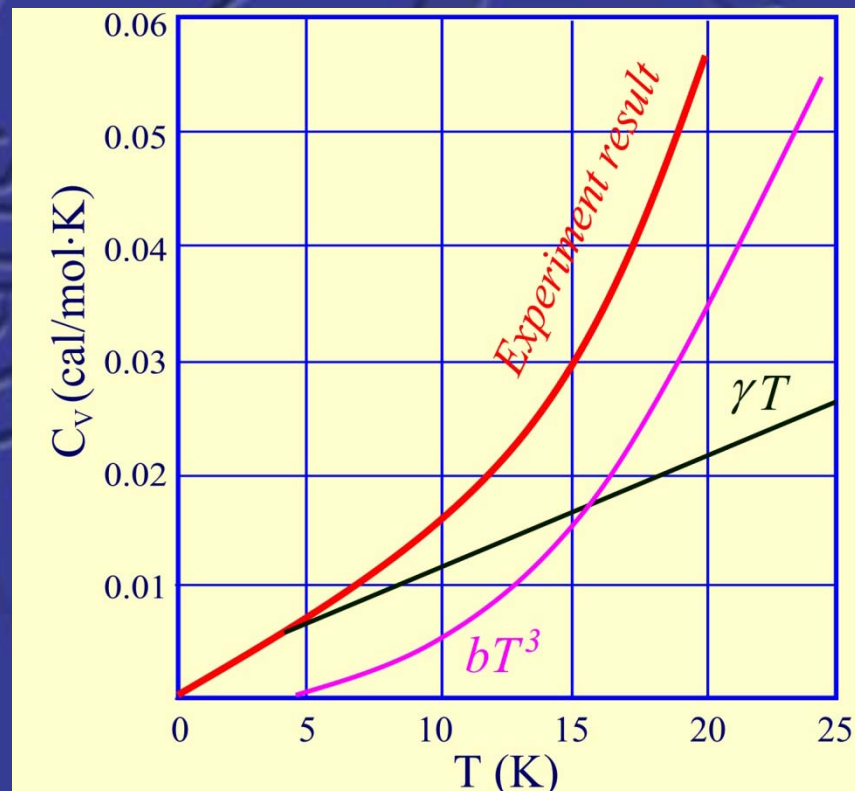
$$C_V^{\text{el}} \propto T$$



- 低温时，电子气对热容的贡献很小
- 并不只适用于自由电子气。电子许可能级形成能带时也是正确的

固体比热的实验结果

$$C_V = \gamma T + bT^3 = C_V^{\text{el}} + C_V^{\text{lat}}$$



只有在极低温度下，电子对比热的贡献才重要

自由电子气的其他性质

附录：Sommerfeld积分

$$I = \int_{-\infty}^{\infty} H(\varepsilon) f(\varepsilon) d\varepsilon$$

- 常遇这样的积分，引入函数

$$Q(E) \equiv \int_{-\infty}^E H(\varepsilon) d\varepsilon$$

- * 其中 $H(E)$ 在当 E 趋向负无穷大时趋向零

- 对 I 作分部积分

$$I = Q(\varepsilon) f(\varepsilon) \Big|_{-\infty}^{\infty} + \int_{-\infty}^{\infty} Q(\varepsilon) \left(-\frac{\partial f}{\partial \varepsilon} \right) d\varepsilon$$

- * 第一项， $-\infty$ 时 $Q(E)$ 积分区间为零， $+\infty$ 时 $f(E)$ 为零

- * 第二项， $-df/dE$ 是中心在 E_F 处的类 δ 函数，宽度约 $k_B T$ ，是 $(E-E_F)$ 的偶函数，将 $Q(E)$ 在 E_F 附近展开到二级近似，得到

$$Q(\varepsilon) = Q(E_F) + (\varepsilon - E_F) Q'(E_F) + \frac{1}{2} (\varepsilon - E_F)^2 Q''(E_F)$$

- * 该展开的第二项是 $(E-E_F)$ 的奇函数，为零

- 把 Q 的展开式(保留到二次)

$$Q(\varepsilon) = Q(E_F) + \frac{1}{2}(\varepsilon - E_F)^2 Q''(E_F)$$

- 代入

$$I = \int_{-\infty}^{\infty} Q(\varepsilon) \left(-\frac{\partial f}{\partial \varepsilon} \right) d\varepsilon$$

- 第1项积分是 $Q(E_F)$ ，第2项与前面求比热的积分形式类似，不同的仅是 $k_B T$ 因子，仍然作同样的变量替换，利用

$$\int_{-\infty}^{\infty} dx x^2 \frac{e^x}{(e^x + 1)^2} = \frac{\pi^2}{3}$$

- 就可得sommerfeld积分

$$I = Q(E_F) + \frac{\pi^2}{6} Q''(E_F) (k_B T)^2$$

B. 费米能级 ($T \ll T_F$)

$$I = Q(E_F) + \frac{\pi^2}{6} Q''(E_F) (k_B T)^2$$

- 低温时 ($T \ll T_F$) 的费米能级 (化学势)

- 对于 $N = \int_0^\infty f(E) D(E) dE$ $H(\varepsilon) = D(\varepsilon)$

$$Q(E) = \int_0^E H(\varepsilon) d\varepsilon = \int_0^E D(\varepsilon) d\varepsilon = C \int_0^E \sqrt{\varepsilon} d\varepsilon = \frac{2}{3} C E^{3/2}$$

$$Q''(E) = \frac{1}{2} C E^{-1/2}$$

$$N = \frac{2}{3} C E_F^{3/2} \left[1 + \frac{\pi^2}{8} (k_B T / E_F)^2 \right]$$

$$N = \frac{2}{3} C (E_F^0)^{3/2}$$

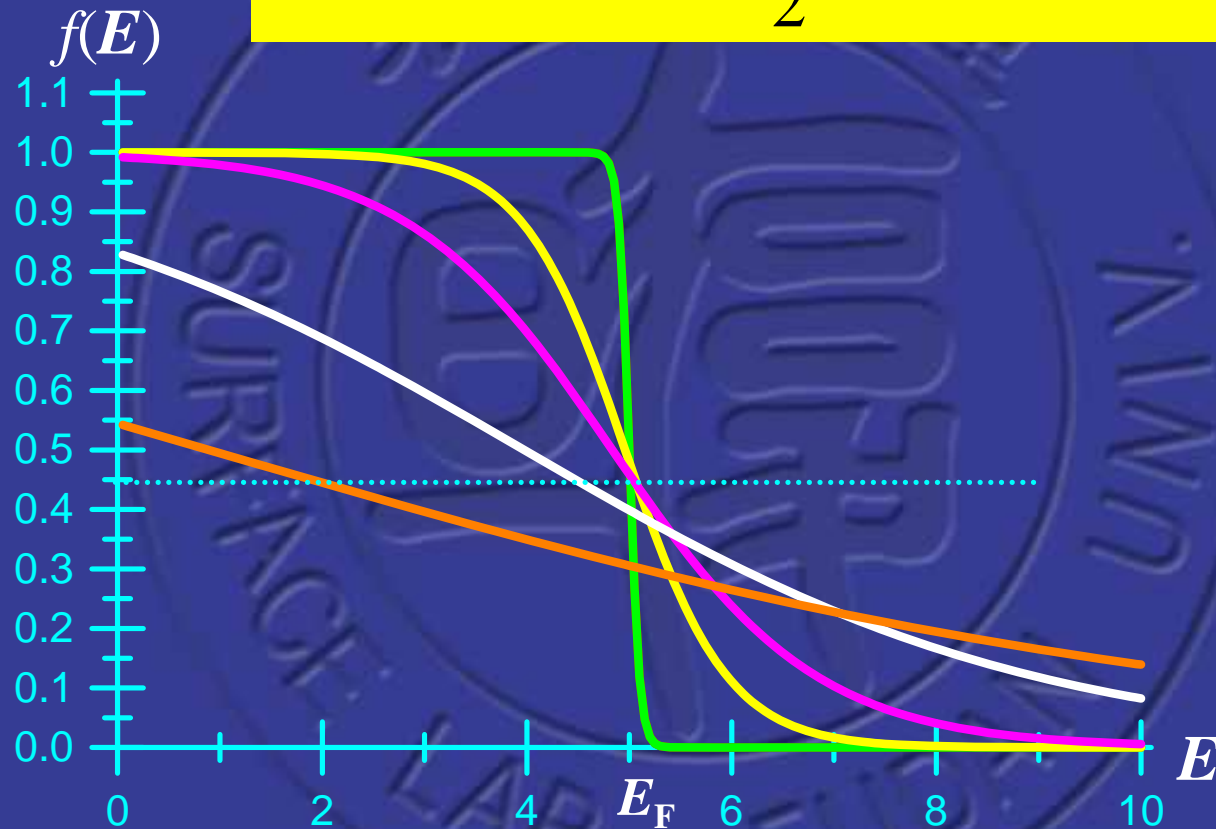
$$(E_F^0)^{3/2} = E_F^{3/2} \left[1 + \frac{\pi^2}{8} (k_B T / E_F)^2 \right]$$

- 利用 $k_B T \ll E_F$ $E_F \approx E_F^0 \left[1 - \frac{\pi^2}{12} (k_B T / E_F^0)^2 \right]$

$$T_F = 10^4 \sim 10^5 \text{K}$$

$$0 \leq f(E, T) = \frac{1}{e^{(E-E_F)/k_B T} + 1} \leq 1 \quad f(E_F, T) = \frac{1}{2}$$

$$E < E_F, \quad f(E) > \frac{1}{2} \quad E > E_F, \quad f(E) < \frac{1}{2}$$



$T=0.01T_F$

$T=0.02T_F$

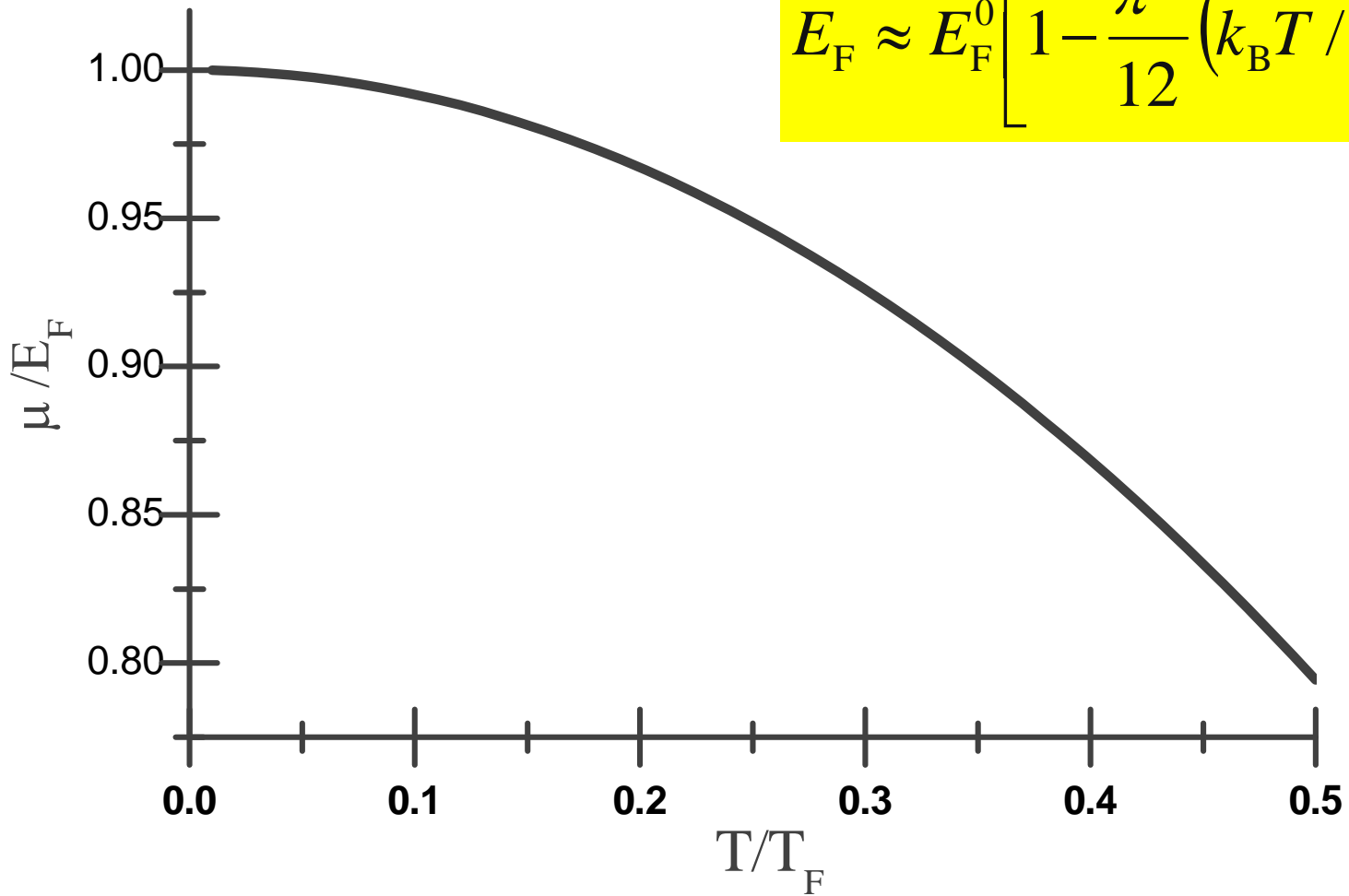
$T=0.05T_F$

$T=1.0T_F$

$$E_F \approx E_F^0 \left[1 - \frac{\pi^2}{12} \left(k_B T / E_F^0 \right)^2 \right]$$

电子气的其他性质

费米能级(化学势)随温度的变化



$$E_F \approx E_F^0 \left[1 - \frac{\pi^2}{12} \left(k_B T / E_F^0 \right)^2 \right]$$

C. 总能量 ($T \ll T_F$)

$$I = Q(E_F) + \frac{\pi^2}{6} Q''(E_F) (k_B T)^2$$

• 对于 $U = \int_0^\infty f(E) D(E) E dE$

$$Q(E) = \int_0^E H(\varepsilon) d\varepsilon = \int_0^E \varepsilon D(\varepsilon) d\varepsilon = C \int_0^E \varepsilon^{3/2} d\varepsilon = \frac{2}{5} C E^{5/2} \quad Q''(E) = \frac{3}{2} C \sqrt{E}$$

$$U = \frac{2}{5} C E_F^{5/2} \left[1 + \frac{5}{8} \pi^2 (k_B T / E_F)^2 \right] \longleftrightarrow U = \frac{2}{5} C (E_F^0)^{5/2}$$

$$k_B T \ll E_F$$

$$\frac{U}{N} \approx \frac{3}{5} E_F^0 \left[1 + \frac{5}{12} \pi^2 (k_B T / E_F^0)^2 \right] \longleftrightarrow \frac{U}{N} = \frac{3}{5} E_F^0$$

• 被激发的电子能量与估计值比较

$$U = N \frac{\pi^2}{4} (T / T_F) k_B T \longleftrightarrow U \sim \frac{N}{2} (T / T_F) k_B T$$

电子气的其他性质



电子气在外(电磁)场下如何运动?

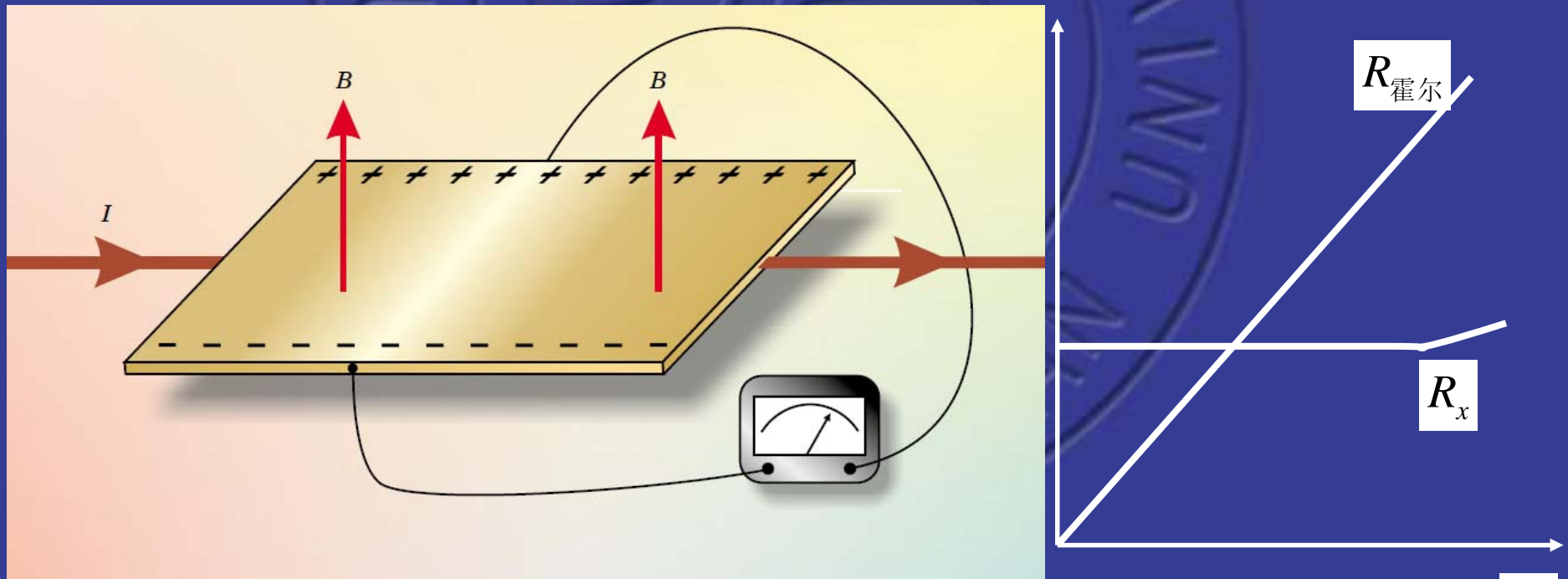
2、电磁场中的电子气

- 经典霍尔效应
 - * 用自由电子气模型，考察在外电磁场下的运动
 - * 半经典处理
- 电子气在磁场中的朗道能级
 - * 电子气在均匀磁场下的运动
 - * 量子力学处理

A. 经典霍尔效应

$$R_{\text{霍尔}} = \frac{E_y}{J_x} = R_H B_z$$

- Hall效应 (注意霍尔电阻定义的电场电流方向)
 - * R_H 霍尔系数, B_z 垂直于样品的磁感应强度
 - * 电流在x方向, 运动电荷在B作用下发生偏转, 在样品两边y方向堆积所建电场阻止其偏转, 直至平衡



自由电子气的其他性质

Hall系数：半经典模型

- 电子受外力后，平均动量的变化

$$\frac{d\mathbf{p}(t)}{dt} = -\frac{\mathbf{p}(t)}{\tau} + \mathbf{F}(t)$$

- 与Drude模型相同，但现在电子在电磁场中受洛伦茨力

$$\mathbf{F} = -e(\mathbf{E} + \mathbf{v} \times \mathbf{B})$$

- 所以，运动方程为

$$m\left(\frac{d}{dt} + \frac{1}{\tau}\right)\mathbf{v} = -e(\mathbf{E} + \mathbf{v} \times \mathbf{B})$$

取磁场沿z
方向，写出
各个分量



$$v_x = -\frac{e\tau}{m} E_x - \omega_c \tau v_y$$

$$v_y = -\frac{e\tau}{m} E_y + \omega_c \tau v_x$$

$$v_z = -\frac{e\tau}{m} E_z$$

$$m \left(\frac{d}{dt} + \frac{1}{\tau} \right) v_x = -e(E_x + Bv_y)$$

$$m \left(\frac{d}{dt} + \frac{1}{\tau} \right) v_y = -e(E_y - Bv_x)$$

$$m \left(\frac{d}{dt} + \frac{1}{\tau} \right) v_z = -eE_z$$

稳态

$$d\mathbf{v} / dt = 0$$

定义回旋频率

$$\omega_c = eB / m$$

- 横向电流为零, 即 $v_y = 0$

$$v_x = -\frac{e\tau}{m} E_x$$

- 于是

$$0 = -\frac{e\tau}{m} E_y + \omega_c \tau v_x$$

$$v_x = -\frac{e\tau}{m} E_x - \omega_c \tau v_y$$

$$v_y = -\frac{e\tau}{m} E_y + \omega_c \tau v_x$$

$$v_z = -\frac{e\tau}{m} E_z$$

- 用电流密度的关系 $\mathbf{j} = -en\mathbf{v}$

- 就有 $j_x = ne^2 \tau E_x / m = \sigma E_x$

与B无关, 磁阻为零

- 另有

$$E_y = -\omega_c \tau E_x = -\frac{eB\tau}{m} E_x = -\frac{B}{ne} j_x$$

Hall系数, $R_H \equiv \frac{E_y}{j_x B}$

电子的其他性质

$$R_H = -\frac{1}{ne}$$

Hall系数的微观解释

$$R_H \equiv \frac{E_y}{j_x B} \longrightarrow R_H = -\frac{1}{ne}$$

- 对于自由载流子，这个量是负的。载流子浓度低，Hall系数的数值大
- 与实验比较，一价金属较好，贵金属差，过渡金属非常差，符号都有可能相反

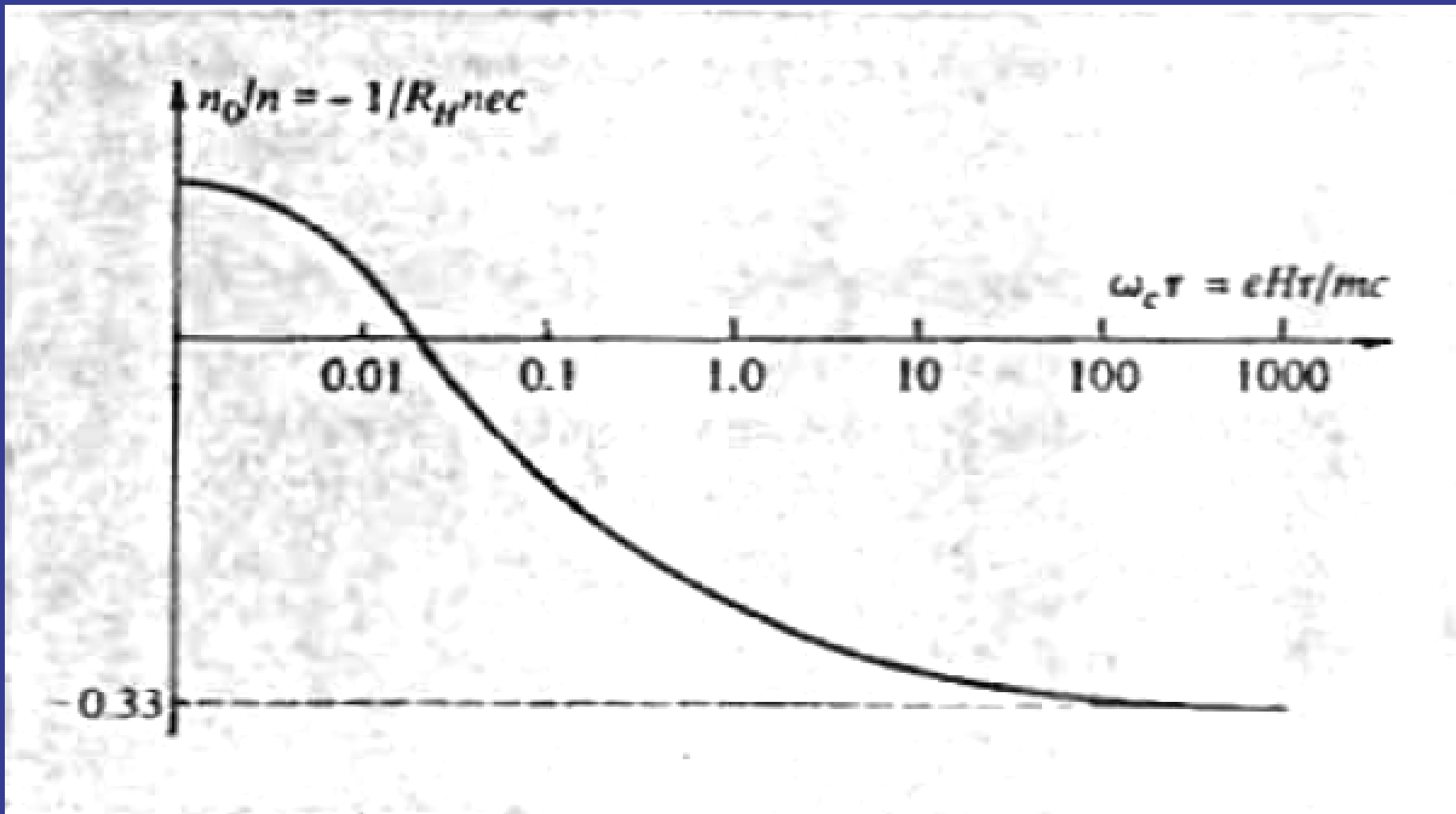
一些金属室温下Hall系数

- 看来有两种载流子，一种负，一种正。非自由电子气模型能说明→能带理论才能解释

* Hall效应常被用来测量载流子，电子还是空穴

- 1980年代以后，出现量子Hall效应现象：二维电子气在磁场下（整数量子Hall效应，分数量子Hall效应）

元素	Z	$-1/R_H ne$
Li	1	0.8
Na	1	1.0
K	1	1.1
Cu	1	1.3
Ag	1	1.3
Au	1	1.5
Be	2	-0.10
Zn	2	-1.4
Cd	2	-1.1
Al	3	0.1



- 这是AI的实验测量，说明与磁场强度有关。

R. Lueck, Phys. Stat. Sol. 18, 49 (1966)

评价：Hall系数

- 成功：
 - * 导出了Hall系数，预言预言了Hall系数与磁感应强度和弛豫时间无关
 - * Hall系数的量级基本正确
 - * 碱金属的Hall系数与实验符合得较好
- 不能解释
 - * Hall系数实际应与温度、磁场强度有关
 - * 有些材料Hall系数前符号错误

The background features a large, faint watermark of the Fudan University Surface Physics Lab logo. The logo is circular and contains the Chinese characters '表面物理' (Surface Physics) at the top, '自由电子气' (Free Electron Gas) in the center, and 'SURFACE LAB. FUDAN UNIVERSITY' around the bottom edge.

**Hall系数与实验不符的原因是什么？
是处理方式还是电子气模型？**

B. 电子气在磁场中的朗道能级(p.104)

- 电子气在均匀磁场中的运动——朗道，1930
- 没有磁场时，自由电子的哈密顿量为

$$H = -\frac{\hbar^2}{2m} \nabla^2$$

- 有磁场时，哈密顿量中的动量算符换成 $\mathbf{p} + q\mathbf{A}$,

$$H = -\frac{1}{2m} (\mathbf{p} + q\mathbf{A})^2$$

对电子， q 为 $-e$

- 其中 \mathbf{A} 是矢势，需要满足

$$\mathbf{B} = \nabla \times \mathbf{A}$$

$$\mathbf{B} = \nabla \times \mathbf{A}$$

- 假定磁场方向沿z轴，为了满足这个关系，可取 $\mathbf{A}=(-By, 0, 0)$ ，则定态薛定鄂方程为

$$H\psi = -\frac{1}{2m} \left[(\hat{p}_x + eBy)^2 + \hat{p}_y^2 + \hat{p}_z^2 \right] \psi = E\psi$$

- 这时，由于其中不显含x, z坐标，在这两个方向上和自由电子一样，尝试波函数为

$$\psi = e^{i(k_x x + k_z z)} \varphi(y)$$

- 代入后可得

$$\frac{1}{2m} \left[(\hbar k_x + eBy)^2 + \hat{p}_y^2 + \hbar^2 k_z^2 \right] \varphi(y) = E\varphi(y)$$

- 对
$$\frac{1}{2m} \left[(\hbar k_x + eBy)^2 - \hbar^2 \frac{\partial^2}{\partial y^2} \right] \varphi(y) = \left(E - \frac{\hbar^2 k_z^2}{2m} \right) \varphi(y)$$

- 令

$$\omega_c = \frac{eB}{m}, \quad y_c = \frac{\hbar k_x}{qB}$$

- 即得

$$\left[-\frac{\hbar^2}{2m} \frac{\partial^2}{\partial y^2} + \frac{m}{2} \omega_c^2 (y - y_c)^2 \right] \varphi(y) = \left(E - \frac{\hbar^2 k_z^2}{2m} \right) \varphi(y)$$

- 这是中心在 y_c 的圆频率为回旋频率的谐振子方程，其解为厄米多项式，本征能量为 Landau 能级

$$E_n = \left(n + \frac{1}{2} \right) \hbar \omega_c, \quad n = 0, 1, 2, \dots$$

$$E - \frac{\hbar^2 k_z^2}{2m} = \left(n + \frac{1}{2} \right) \hbar \omega_c \rightarrow E = \left(n + \frac{1}{2} \right) \hbar \omega_c + \frac{\hbar^2 k_z^2}{2m}$$

垂直于磁场平面，电子运动是量子化

$$E = \frac{\hbar^2 k_z^2}{2m} + \left(n + \frac{1}{2}\right) \hbar \omega_c, \quad n = 0, 1, 2, \dots$$

- 在磁场方向 z ，能量仍是连续的
- 但垂直于磁场平面，原来无磁场时的准连续能量，简并到分裂的所谓Landau能级，电子运动是量子化的
- 无磁场时， k 空间状态分布均匀，能量态密度

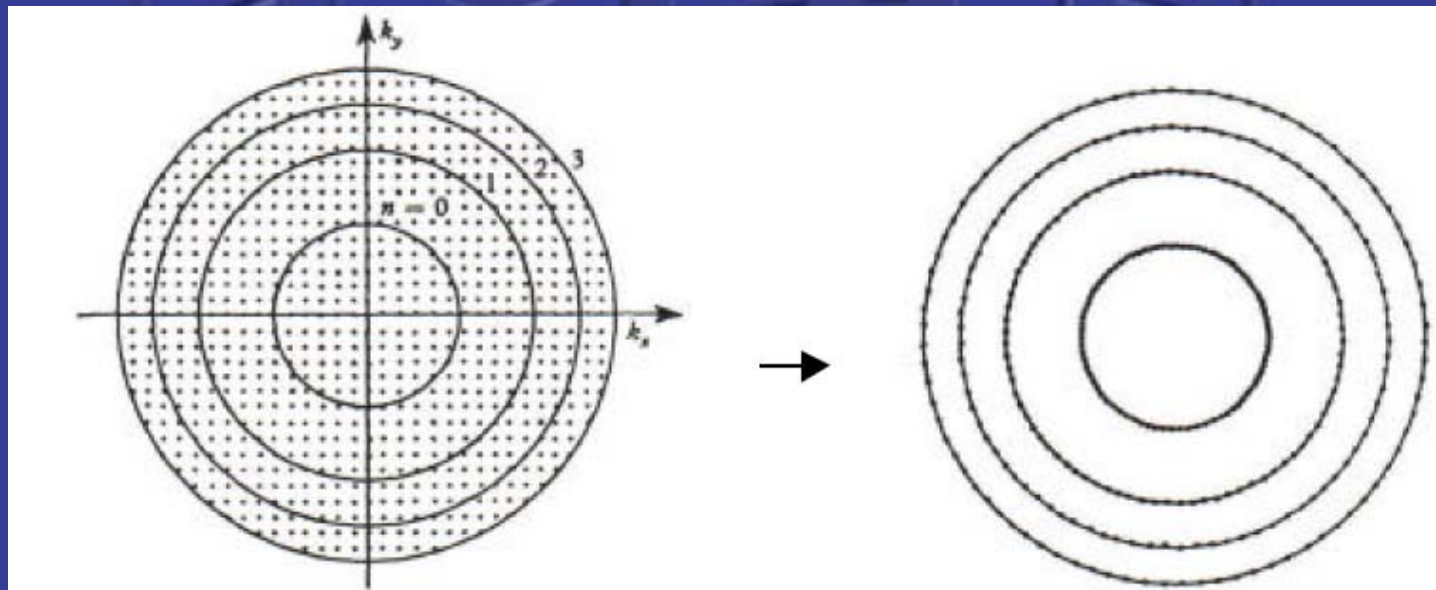
$$D(E) = C\sqrt{E}, \quad C = \frac{V}{2\pi^2} \left(\frac{2m}{\hbar^2}\right)^{3/2}$$

- 有磁场时，需要分别计算每个 n 的态密度，然后相加

Landau管

$$\frac{\hbar^2}{2m} (k_x^2 + k_y^2 + k_z^2) \Rightarrow \left(n + \frac{1}{2} \right) \hbar \omega_c + \frac{\hbar^2 k_z^2}{2m}$$

- 原来在k空间均匀分布的k点，在某方向加上均匀磁场后，沿此方向，k空间被等分成一个个管上(顶视图)。称为Landau管。原均匀分布的k点，重新分布到Landau管上→每个管上的任一横截面上电子的能量相等→简并
- 先计算每个n能级的简并度



简并度

$$\frac{\hbar^2}{2m} (k_x^2 + k_y^2) \rightarrow \left(n + \frac{1}{2} \right) \hbar \omega_c$$

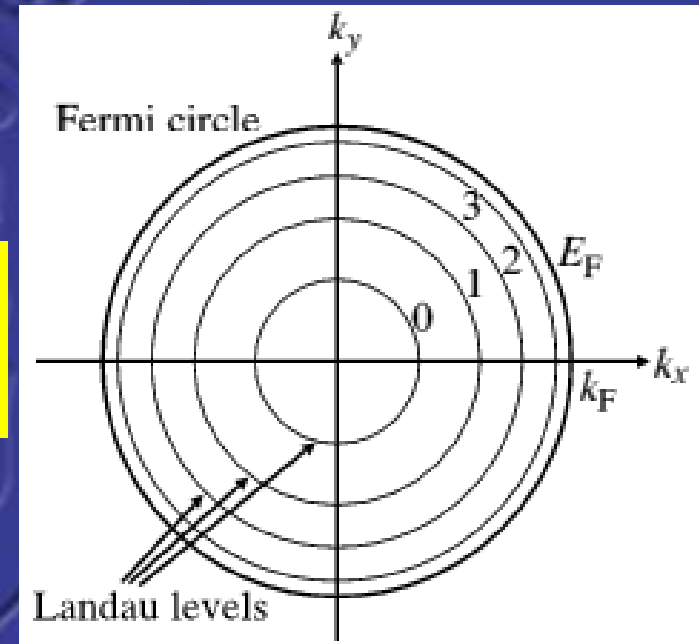
$$\omega_c = \frac{eB}{m}$$

- 在x-y平面，等能线是同心圆，相邻圆的面积

$$S = \int_{k_1}^{k_2} 2\pi k dk = \pi k^2 \Big|_{k_1}^{k_2}$$

$$= \pi (k_2^2 - k_1^2) \frac{\hbar^2}{2m} \frac{2m}{\hbar^2} = \pi \frac{2m}{\hbar^2} \hbar \omega_c$$

$$= \pi \frac{2m}{\hbar^2} \hbar \frac{eB}{m} = 2\pi \frac{eB}{\hbar}$$



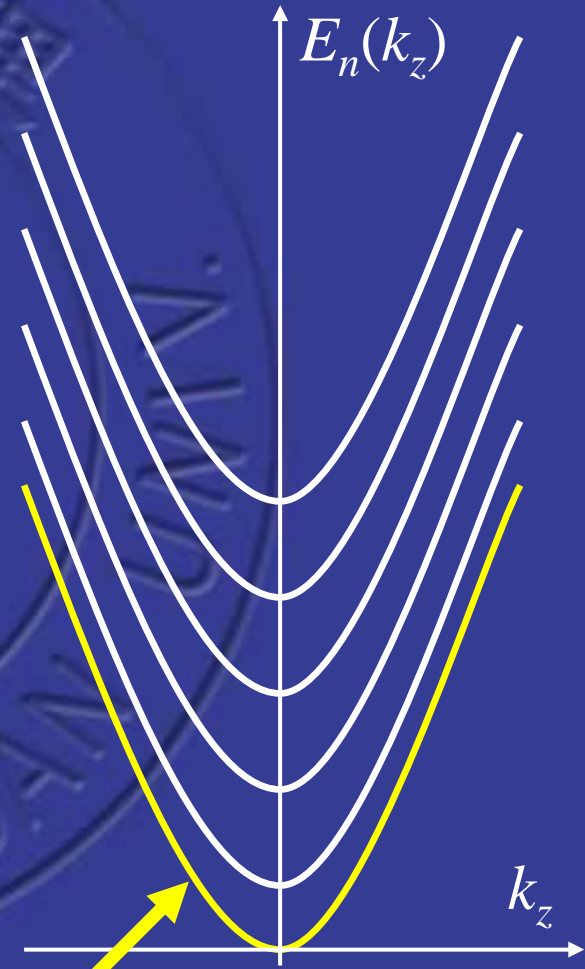
- 这个面积里的状态数在无磁场时均匀，即得简并度

$$2\pi \frac{eB}{\hbar} \frac{L_x L_y}{(2\pi)^2} = L_x L_y \frac{eB}{h}$$

二维k空间状态密度

$$L_x L_y \frac{eB}{h}$$

- 这些均匀分布的k点现在分布到圆周上，简并到同一能量
- 简并度由磁场强度决定
- 简并度与n无关，每个圆周都相同，即单位面积的每个Landau能级的简并度都是 eB/h
- 原来连续的 $E(k)$ 由于磁场简并到Landau能级，成一条条一维的抛物线，Landau能级只是使之移动一个常数



$$\left(n + \frac{1}{2}\right) \hbar \omega_c + \frac{\hbar^2 k_z^2}{2m}$$

气的其他性质

B=0时的E(k)关系

态密度（有磁场时）

- 对于x-y平面，第n个Landau能级的状态数是

$$D_{xy} = L_x L_y \frac{eB}{h}$$

- 对于z，在 dk_z 范围，状态数为

$$dN_z = 2 \frac{L_z}{2\pi} dk_z$$

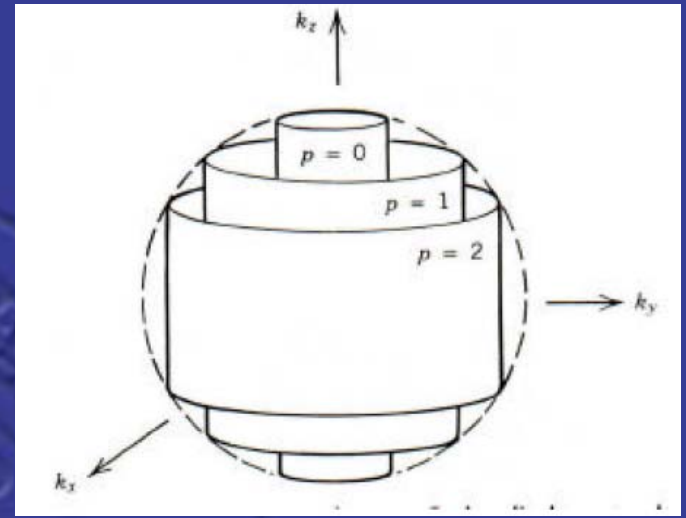
- 利用

$$E = \frac{\hbar^2 k_z^2}{2m} + \left(n + \frac{1}{2}\right) \hbar \omega_c$$

- 可得

$$k_z = \left(\frac{2m}{\hbar^2}\right)^{1/2} \left[E - \left(n + \frac{1}{2}\right) \hbar \omega_c \right]^{1/2}$$

$$dk_z = \frac{1}{2} \left(\frac{2m}{\hbar^2}\right)^{1/2} \left[E - \left(n + \frac{1}{2}\right) \hbar \omega_c \right]^{-1/2} dE$$



态密度

- 第 n 个Landau能级的状态密度

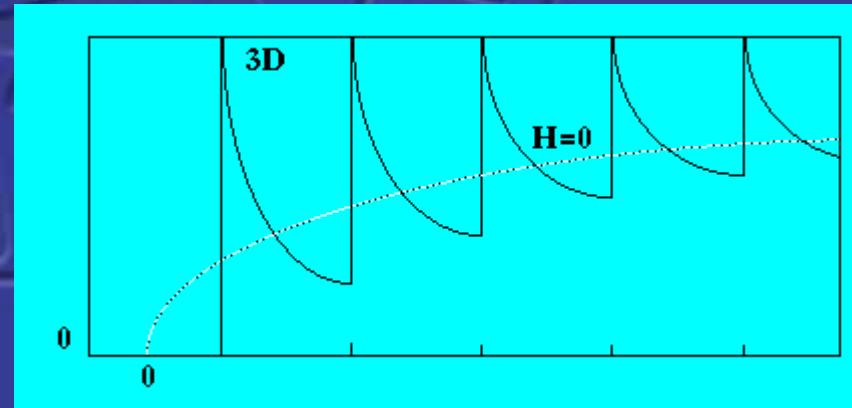
$$dN_n = D_n(E)dE = D_{xy} 2 \frac{L_z}{2\pi} 2dk_z$$

$$E > \left(n + \frac{1}{2} \right) \hbar \omega_c$$

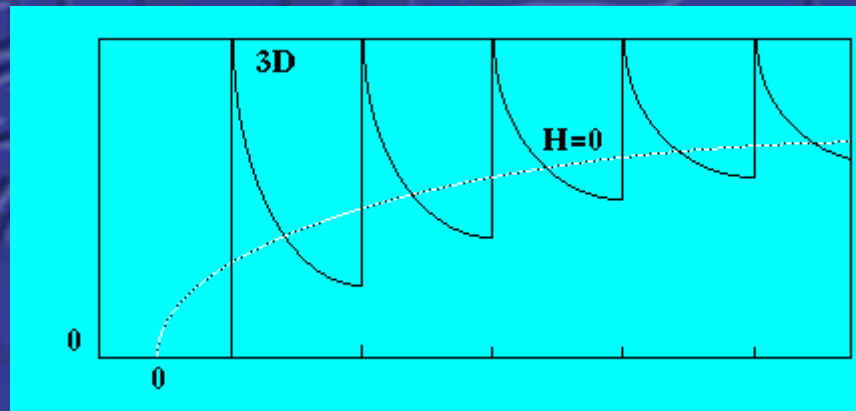
$$D_n(E) = \frac{V}{(2\pi)^2} \hbar \omega_c \left(\frac{2m}{\hbar^2} \right)^{3/2} \left[E - \left(n + \frac{1}{2} \right) \hbar \omega_c \right]^{-1/2}$$

- 总的态密度是

$$D(E) = \sum_{n=0}^{E > \left(n + \frac{1}{2} \right) \hbar \omega_c} D_n(E)$$



- 能量状态密度：两部分的迭加。在x~y方向的分立能级的态密度和在z方向的连续能级的态密度，即一维的态密度与分立能级的迭加
- 一维电子气体的能量态密度 $D(E) \sim E^{-1/2}$
- 改写磁场中电子气能量关系 $\frac{\hbar^2 k_z^2}{2m} = E - \left(n + \frac{1}{2}\right) \hbar \omega_c$
- 于是得到磁场中电子气的态密度为



$$D(E) \sim \sum_n E_n^{-1/2} = \sum_n \left[E - \left(n + \frac{1}{2}\right) \hbar \omega_c \right]^{-1/2}$$

讨论

$$\frac{\hbar^2}{2m} (k_x^2 + k_y^2 + k_z^2) \Rightarrow \left(n + \frac{1}{2} \right) \hbar \omega_c + \frac{\hbar^2 k_z^2}{2m}$$

- 原来自由电子在 xy 平面连续的能级，现在是量子化的，这些分立的能级称为Landau能级
 - * Landau能级分立的物理原因是什么？→
- 如果 k_z 保持不变，则电子在 $k_x \sim k_y$ 面内；那么，如果 k_z 连续，电子在空间的轨迹就是螺旋运动
 - * 如将磁场下的电子气限制在二维空间，即限制在上面公式中的 xy 平面，再在面内建立电场使形成比如说 x 方向的电流，将会发生什么现象？→

→视野拓展→

$$R_H = \frac{V_H}{I_x} = -\frac{1}{j} \frac{h}{e^2}$$

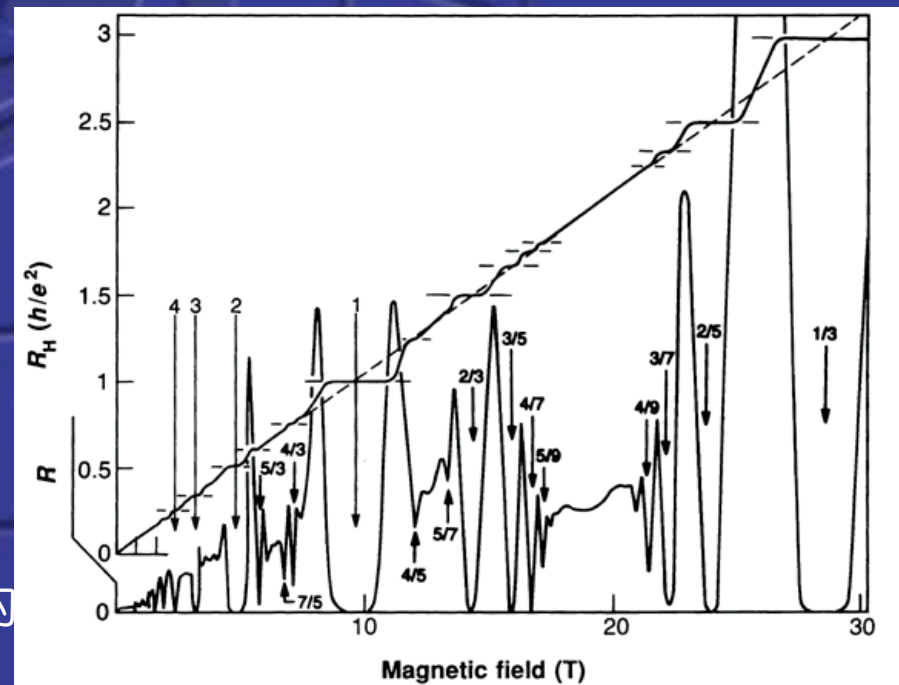
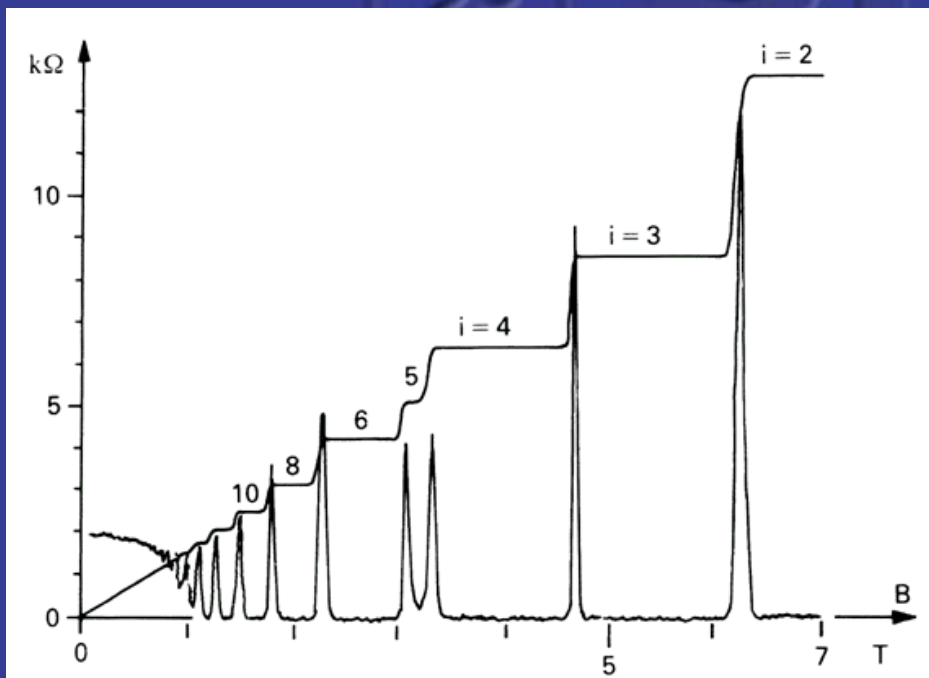
1. Landau能级分裂的物理原因是什么？
2. 如将磁场下的电子气限制在二维空间，即限制在xy平面，再在面内建立电场使形成比如说x方向的电流，将会产生Hall效应
3. 如果把磁场加大、电子密度减少到极至，将有可能发生什么现象？

→量子Hall效应

量子Hall效应

$$R_H = \frac{V_H}{I_x} = -\frac{1}{j} \frac{h}{e^2}$$

- 整数量子霍尔效应(1985诺奖): von Klitzing, **1.5K, 18T, $10^{13}/\text{cm}^2$** , PRL45, 494 (1980)
- 分数量子霍尔效应(1985诺奖): Tsui, Stoermer, **0.5K, 20T, $10^{11}/\text{cm}^2$** , PRL48, 1559 (1982); Laughlin解释, PRL50, 1395 (1983)



小结：兼答本讲目的中所提两个问题

- 低温下，金属自由电子性质与基态有何不同？
 - * 有限温度费米分布函数不再简单地等于零或一，这导致积分困难。在极低温条件下，这个困难可由Sommerfeld积分解决，得到
 - # 比热与温度成正比，总能与温度的二次方成正比
 - # 费米能级随温度升高而降低
- 自由电子气在电、磁场下如何运动？
 - * Hall效应，Hall系数与B和弛豫时间无关
 - * 磁场下的自由电子气，在垂直于磁场的平面内，会由无外磁场时的连续能级分裂成所谓的朗道能级

新引入概念

- Landau能级



习题

3. 求低温一维、二维电子气体的费米能级和电子气体平均能量，并与零温度的结果进行比较。

$$E_F \approx E_F^0 \left[1 - \frac{\pi^2}{12} \left(\frac{T}{T_F} \right)^2 \right]$$

课堂讨论题：为什么温度越高，费米能级反而越低？其物理意义是什么？